

5. モンテカルロシミュレーション

5-1. カルカルペサンブル.

質量 m の N 個の古典粒子からなる系を考える。
同種

$$H(r_1, r_2, \dots, r_N; p_1, p_2, \dots, p_N) = \sum_{i=1}^N \frac{p_i^2}{2m} + U(r_1, r_2, \dots, r_N) \quad (1)$$

N, V, T 一定のカルカルペサンブルによれば、

エネルギー H のミクロ状態を体積要素

$$dr_1 dr_2 \dots dr_N dp_1 dp_2 \dots dp_N = dr^N dp^N$$

に見出す確率は、

$$\propto \exp(-\beta H) dr^N dp^N \quad \beta = (k_B T)^{-1}$$

(2)

粒子の位置座標 r に依存する物理量 A を考えよ。

($A \in, U, P, \vec{s}, \text{etc..}$).

$$\langle A \rangle_{NVT} = \frac{1}{Z_N N! h^{3N}} \int dp^N \int dr^N A(r^N) \exp(-\beta H) \quad (3)$$

$$= \frac{1}{Q_N} \int dr^N A(r^N) \exp(-\beta U(r^N)) \quad (4)$$

$$Z_N \equiv \frac{1}{N! h^{3N}} \int dp^N \int dr^N \exp(-\beta H) \quad (5)$$

$$= \left(\frac{2\pi m k_B T}{h^2} \right)^{3N/2} \frac{1}{N!} Q_N \quad (6)$$

$$Q_N \equiv \int_{r^N} dr^N \exp(-\beta U) \quad (7)$$

④式をいかにして、コンピュータで評価するか?
 →モンテカルロ法。(乱数を用いて積分)

5-2. メトロポリスの方法。

5-2-1. 粗いサンプリング。

$$\langle A \rangle = \frac{\int d\mathbf{r}^N A(\mathbf{r}^N) \exp(-\beta U(\mathbf{r}^N))}{\int d\mathbf{r}^N \exp(-\beta U(\mathbf{r}^N))} \quad (8)$$

⑤式の定義通りに、 \mathbf{r}^N の位相空間の中で、 $\mathbf{r}^N = \mathbf{r}_1, \mathbf{r}_2, \dots, \mathbf{r}_N$ をランダムに一樣の確率でサンプリングして、各点での $A(\mathbf{r}^N)$ の値に重み、 $\exp(-\beta U(\mathbf{r}^N))$ をかけ、平均をとる。

→多粒子系の場合、このやり方ではほとんどのサンプルで粒子のオーバーラップが発生 $\Rightarrow \exp(-\beta U(\mathbf{r}^N)) \approx 0$ 効率が悪い。

5-2-2. Importance サンプリング(重みつきサンプリング)

$$\langle A \rangle_{NVT} = \frac{\int d\mathbf{r}^N D(\mathbf{r}^N)^{-1} A(\mathbf{r}^N) \exp(-\beta U(\mathbf{r}^N))}{\int d\mathbf{r}^N D(\mathbf{r}^N)^{-1} \exp(-\beta U(\mathbf{r}^N))} \quad (9)$$

$\int d\mathbf{r}^N$ は、一樣ではない。サンプル密度 $D(\mathbf{r}^N)$ で、位相空間をサンプルする操作をする

$$\therefore \int d\mathbf{r}^N D(\mathbf{r}^N)^{-1} = \int d\mathbf{r}^N \quad (10)$$

効率のよりサンプлинぐ密度のとり方とく。

(11)

$$D(\mathbf{r}^N) \propto \exp(-\beta U(\mathbf{r}^N)) \quad \left. \begin{array}{l} (\text{Uの小さな所で}) \\ (\text{重点的にサン}) \\ (\text{プлинぐする。}) \end{array} \right\}$$

とする ~~このように~~ の場合、

$$\langle A \rangle_{NVT} = \frac{\int_0^D d\mathbf{r}^N A(\mathbf{r}^N)}{\int_0^D d\mathbf{r}^N} \quad (12)$$

となり。その時のサンプルの $A(\mathbf{r}^N)$ の値に重みをかけた“ $\langle A \rangle$ ”平均すれば“よい”。

→ 出現するサンプルすべてが“同じ重み”平均の計算に寄与する ⇒ 効率が良い。

5-2-3. メトロポリスの方法。

$D(\mathbf{r}^N) \propto \exp(-\beta U(\mathbf{r}^N))$ を実現する
プロセスの1つ。(最もよく使われる)。

($\mathbf{r}^N \rightarrow \mathbf{r}_i$ ($i=1, 2, \dots, m$) は、位相空間における $\underbrace{\text{離散的}}_{\text{状態}}$ を表す。).

- 任意の2つの状態 $\mathbf{r}_i, \mathbf{r}_j$ が互に到達可能。
- 平均再帰時間が ∞ でなく、周期的でもない。

⇒ エルゴート状態。

$$w_k = \sum_i w_i P_{ik} \quad (13)$$

w_k : 状態密度., P_{ik} : 遷移確率. $i \rightarrow k$.

$\omega_k \in \Omega$. ① の $D(\mathbf{r}^n)$ を代入すると, $U_k = U(\mathbf{r}_k^n)$

$$\begin{aligned}\exp(-\beta U_k) &= \sum_i \exp(-\beta U_i) P_{ki} \\ &= \exp(-\beta U_k) P_{kk} + \sum_{i \neq k} \exp(-\beta U_i) P_{ik} \quad (14)\end{aligned}$$

左辺に, $1 = \sum_i P_{ki} = P_{kk} + \sum_{i \neq k} P_{ki}$ を代入する.

$$\sum_{i \neq k} \exp(-\beta U_k) P_{ki} = \sum_{i \neq k} \exp(-\beta U_i) P_{ik} \quad (15)$$

平衡状態での詳細釣り合の原理が成立する \Rightarrow ②.

$$\exp(-\beta U_k) P_{ki} = \exp(-\beta U_i) P_{ik}$$

$$\therefore \frac{P_{ik}}{P_{ki}} = \frac{\exp(-\beta U_k)}{\exp(-\beta U_i)} = \exp(-\Delta_{ik}) \quad (16)$$

実際の P_{ik} の式 (N 粒子系) $\Delta_{ik} \equiv \beta [U_k - U_i]$. $\sim \sim \sim$ (17)

→ 1). N 個の粒子から 1 個をランダムに選び出す (番号 = α).

↓ 状能 i 状能 k

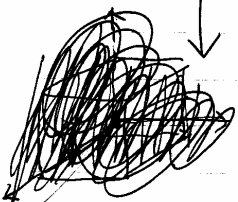
2) 粒子 α を, $\mathbf{r}_\alpha \rightarrow \mathbf{r}_\alpha + \Delta \mathbf{r}_\alpha$ へ移動する.

$$\Delta \mathbf{r}_\alpha = (\Delta x_\alpha, \Delta y_\alpha, \Delta z_\alpha)$$

$$\Delta x_\alpha = s(1 - 2\bar{s}_x) \quad s: 小さな数$$

$$\Delta y_\alpha = s(1 - 2\bar{s}_y) \quad \bar{s}_{x,y,z}: 一様乱数 [0 \sim 1]$$

$$\Delta z_\alpha = s(1 - 2\bar{s}_z)$$



↑
3) 粒子の移動前後の Δ_{ik} を計算する

~~状態~~

- $\Delta_{ik} \leq 0 \rightarrow$ 状態 k を採用する = 確率 1
- $\Delta_{ik} > 0 \rightarrow$ 確率 $\exp(-\Delta_{ik})$
" 状態 k を採用する (採用しない場合も、いのまま)。

○ ①へ戻る。

このサブプロセスは、 $i \rightarrow k$ の遷移確率は

A. 遷移先を選ぶ確率 $P'_{ik} = P'_{ki}$

B. 遷移するかどうかの確率 ~~if $\Delta_{ik} \leq 0$ then 1 else $\exp(-\Delta_{ik})$~~

$$P''_{ik} = \min [1, \exp(-\Delta_{ik})]$$

$$P''_{ki} = \min [1, \exp(-\Delta_{ki})]$$

の積である。

$$\therefore \frac{P_{ik}}{P_{ki}} = \frac{P'_{ik} P''_{ki}}{P'_{ki} P''_{ki}} = \exp(-\Delta_{ik}) \quad ⑧$$

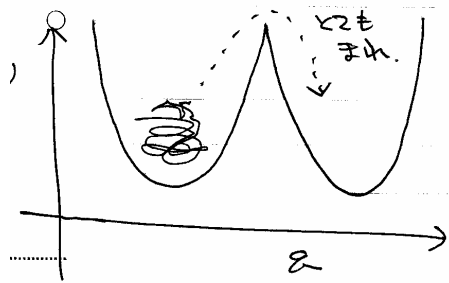
————— //

5-2-4. マルチカルカル サンフーリング

Importanceサンフーリング ($D(\epsilon) \propto \exp(-\beta U(\epsilon))$) は、エルゴード性が強い場合は、効率がよりか。弱い場合は（例えば、位相空間の2つの領域が高いポテンシャルエネルギーのバリアで隔てられている場合）、効率が悪くなる。

→ Why? バリア部分をほとんどサンフーリング

しないので、まみまみの領域から抜け出すのに時間がかかる。



粗いサンフーリング $D(\epsilon) = \text{const.}$

Importanceサンフーリング $D(\epsilon) \propto \exp(-\beta U(\epsilon))$

の中間的なサンフーリングをしゃべるよ!!

$$D'(\epsilon) \propto \exp(J(U(\epsilon))) \quad (1)$$

$$\langle A \rangle_{NVT} = \frac{\int_{-\infty}^{P'} d\epsilon A(\epsilon) \exp(-\beta U) \exp(J)}{\int_{-\infty}^{P'} d\epsilon \exp(-\beta U) \exp(J)} \quad \begin{matrix} \text{known function} \\ \text{of } U \end{matrix} \quad (2)$$

$$= ?? \quad J(U) \approx S(U) \text{ とする} \quad$$

$$\exp(J) \approx \exp(S) = m(U) \quad (3)$$

ポテンシャルエネルギー U における状態密度。

$$\text{つまり}, \int^D d\varrho \approx \int m(U) dU$$

すべてのエネルギー状態が等しくサンプルされる。

→ エネルギーのバリュを超過する。

詳細釣り合い。

$$\frac{P_{ik}}{P_{ki}} = \exp[-\Delta]. \quad (2)$$

$$\Delta \equiv J_i - J_k \quad (3)$$

実際のアルゴリズムは、Importance Sampling と同じ。ただし、 $\Delta \equiv J_i - J_k$ を用いる。

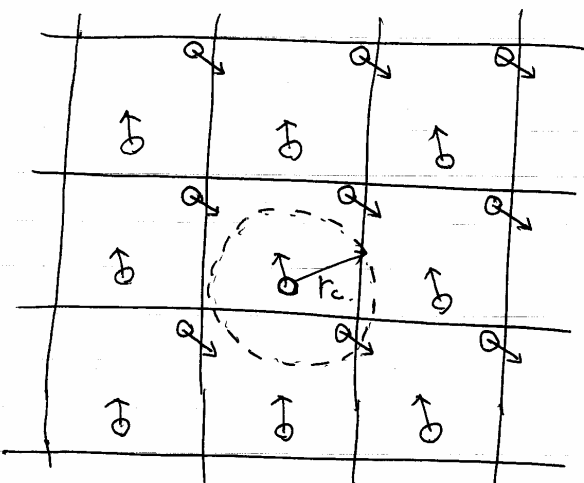
応用例：スピングラス、ガラス、ターボ箇 etc..

液体の

5-3. 内部エネルギーと状態方程式.

5-3-1. 周期境界条件.

少數(100~10000)の粒子で液体などのパルクの性質をシミュレートする際に必須



④

$$U(r_1, r_2, \dots, r_N) = \frac{1}{2} \sum_{i=1}^N \sum_{j=1}^N \phi(r_{ij}) + \frac{1}{2} \sum_i' \sum_{j=1}^N \sum_{j'=1}^N \phi(r_{ij'})$$

同じセル 異なるセル.

(実際の計算では、 \sum' は、となりのセルのみ取り入れる。
 また、 $r_{ij}, r_{ij'} > r_c$ では、 $\phi = 0$ とする。
 (クロンカを除く)

④ その V を ③ の A に代入すれば、 $\langle V \rangle$ が求まる。

~~（）~~ 三運動エネルギーの平均 $\frac{3}{2} N k_B T$ を加えよ。

$$\langle H \rangle = \frac{3}{2} N k_B T + \langle V \rangle \Rightarrow \text{内部エネルギー} -$$

○ 5-3-2. ハミルトン定理。

粒子の座標と運動量の間数である力学量 F の時間の関数と $\langle F \rangle$ 。

$$F(r^N(t), p^N(t)) \equiv F(t)$$

と書くと $F(t)$ の長時間平均は。

$$\langle F(t) \rangle_t = \lim_{T \rightarrow \infty} \frac{1}{T} \int_0^T F(t) dt \quad (25)$$

○ 体積 V の閉容器内で運動する質量 m の N 個の粒子系を考える。粒子の運動方程式は。

$$m \frac{d^2 r_i}{dt^2} = \underbrace{F_i}_{\substack{\text{外力} \\ \text{他の粒子からの力}}} + \underbrace{W_i}_{\substack{\text{壁からの力}}} \quad (26)$$

両辺を r_i の内積を取り、長時間平均を取る。

$$\text{左端)} \quad \frac{m}{T} \int_0^T r_i \cdot \frac{d^2 r_i}{dt^2} dt = \underbrace{\frac{m}{T} \left[r_i \cdot \frac{dr_i}{dt} \right]_0^T}_{T \rightarrow \infty \text{ でゼロ}} - \frac{m}{T} \int_0^T \frac{dr_i}{dt} \cdot \frac{d^2 r_i}{dt^2} dt \quad (27)$$

右(2D).

$$\frac{1}{\tau} \int_0^\tau \mathbf{r}_i \cdot (\mathbf{F}_i + \mathbf{W}_i) dt. \quad (28)$$

$$\therefore - \left\langle m \left(\frac{d\mathbf{r}_i}{dt} \right)^2 \right\rangle_t = \left\langle \mathbf{r}_i \cdot (\mathbf{F}_i + \mathbf{W}_i) \right\rangle_t \quad (29)$$

$\left[\begin{array}{l} \langle \dots \rangle_t \\ \stackrel{\circ}{=} \langle \dots \rangle \\ \text{を用いた} \end{array} \right]$
 $- 2 \left\langle \sum_{i=1}^N \frac{m}{2} \left(\frac{d\mathbf{r}_i}{dt} \right)^2 \right\rangle_t = \left\langle \sum_{i=1}^N \mathbf{r}_i \cdot (\mathbf{F}_i + \mathbf{W}_i) \right\rangle_t \quad (30)$

 $\hookrightarrow \frac{3}{2} N k_B T.$

$$\left\langle \sum_{i=1}^N \mathbf{r}_i \cdot \mathbf{W}_i \right\rangle = - 3 N k_B T - \left\langle \sum_{i=1}^N \mathbf{r}_i \cdot \mathbf{F}_i \right\rangle \quad (31)$$

— \mathbf{W}_i は、内壁が粒子から受けける力である。すべての粒子から受けれるこの力の平均を壁の単位面積当たりに直したもののは、圧力 P を与える。

つまり、内壁上に位置ベクトル \mathbf{r} の面積要素 dS をとり、その外向き法線ベクトルを \mathbf{n} とすれば、 dS が受けれる平均の力は、 $P_m dS$ である。これが \mathbf{r} との内積を内壁全体にわたって積分すると

$$\left\langle \sum_i \mathbf{r}_i \cdot \mathbf{W}_i \right\rangle = - \int P_m \cdot \mathbf{r} dS \quad (32)$$

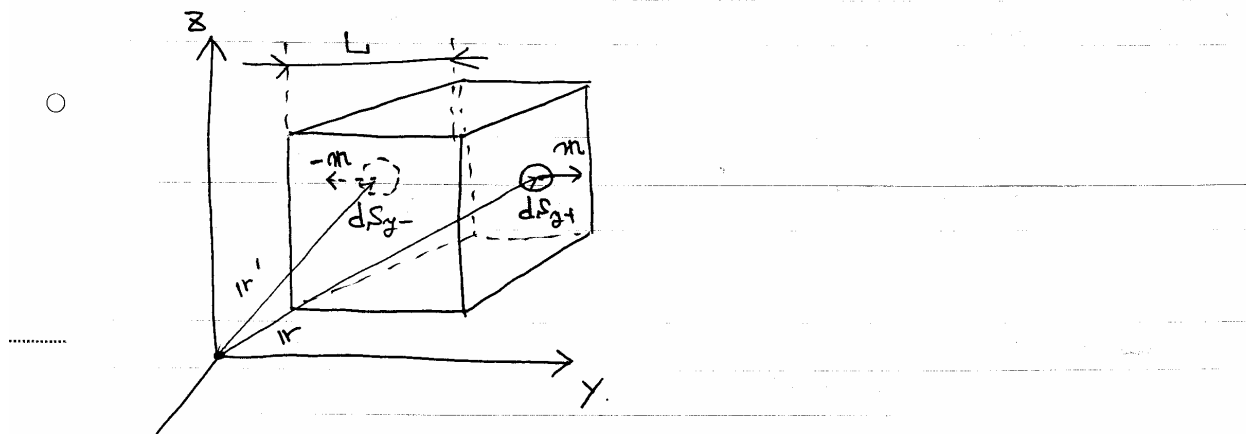
簡単のために容器は、 x, y, z 軸に平行な稜線を持つ一辺 L の立方体とする。 y 軸に垂直な、2つの面についての面積分は、 dS_{y+} の位置ベクトルを \mathbf{r} , dS_{y-} を \mathbf{r}' と L 。

$$\begin{aligned}
 & - \int P_m \cdot \mathbf{r} dS_{y+} - \int P(-m) \cdot \mathbf{r}' dS_{y-} \\
 & = - P \int m \cdot (\mathbf{r} - \mathbf{r}') dS_{y+} \\
 & = - PL \int dS_{y+} = - PV
 \end{aligned} \quad (33)$$

同様に、 x, z 軸についても $-PV$ を得る。

$$\therefore \left\langle \sum_i \mathbf{r}_i \cdot \mathbf{W}_i \right\rangle = - \int P_m \cdot m dS = - 3PV \quad (34)$$

(立方体ではなく一般的な場合を証明するには、ガウスの定理を用ひて、面積分を体積積分に変換する)



④と③に代入して、

$$PV = Nk_B T + \frac{1}{3} \left\langle \sum_{i=1}^N \mathbf{r}_i \cdot \mathbf{F}_i \right\rangle \quad (35)$$

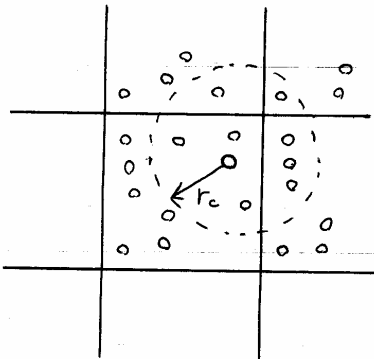
分子間の力が対ポテンシャルで表される場合、

$$\begin{aligned} \left\langle \sum_{i=1}^N \mathbf{r}_i \cdot \mathbf{F}_i \right\rangle &= - \left\langle \sum_{i=1}^N \mathbf{r}_i \cdot \frac{\partial \Phi}{\partial \mathbf{r}_i} \right\rangle \\ &= - \left\langle \sum_{i=1}^N \sum_{j=1}^N \mathbf{r}_i \cdot \frac{\partial \phi(r_{ij})}{\partial \mathbf{r}_i} \right\rangle_{i \neq j} \\ r_{ij} &\equiv |\mathbf{r}_i - \mathbf{r}_j| \\ &= - \frac{1}{2} \left\langle \sum_{i=1}^N \sum_{j=1}^N (\mathbf{r}_i - \mathbf{r}_j) \cdot \frac{\partial \phi(r_{ij})}{\partial \mathbf{r}_i} \right\rangle_{i \neq j} \\ &= - \frac{1}{2} \left\langle \sum_{i=1}^N \sum_{j=1}^N (\mathbf{r}_i - \mathbf{r}_j) \cdot \frac{\partial r_{ij}}{\partial \mathbf{r}_i} \frac{d\phi(r_{ij})}{dr_{ij}} \right\rangle_{i \neq j} \end{aligned}$$

$$(r_i - r_j) \cdot \frac{\partial r_{ij}}{\partial r_i} = r_{ij} \quad \text{d}), \\ = - \left\langle \sum_{i=1}^N \sum_{j>i}^N r_{ij} \frac{d\phi(r_{ij})}{dr_j} \right\rangle \quad \textcircled{36}$$

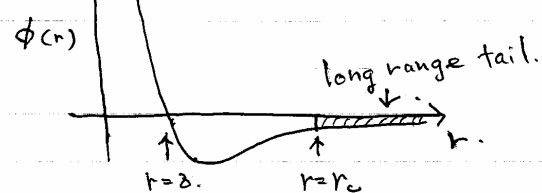
$$2. PV = Nk_B T - \frac{1}{3} \left\langle \sum_{i=1}^N \sum_{j>i}^N r_{ij} \frac{d\phi(r_{ij})}{dr_j} \right\rangle \quad \textcircled{37}$$

5-3-3 相互作用のカットオフと長距離補正.



Lennard-Jones model.

$$\phi(r) = 4\epsilon \left[\left(\frac{\sigma}{r} \right)^{12} - \left(\frac{\sigma}{r} \right)^6 \right]$$



$$\begin{aligned} U &= \sum_{i=1}^N \sum_{j>i}^N \phi(r_{ij}) \\ &= \sum_{i=1}^N \sum_{j>i}^N [r_{ij} \leq r_c \phi(r_{ij}) + U_{LRC}] \end{aligned}$$

$$\begin{aligned} PV &= Nk_B T - \frac{1}{3} \sum_{i=1}^N \sum_{j>i}^N r_{ij} \frac{d\phi(r_{ij})}{dr} \\ &= Nk_B T - \frac{1}{3} \sum_{i=1}^N \sum_{j>i}^N [r_{ij} \leq r_c r_{ij} \frac{d\phi(r_{ij})}{dr} + (PV)_{LRC}] \end{aligned}$$

$$U_{LRC} = N \int_{r_c}^{\infty} 2\pi r^2 dr \rho \phi(r)$$

$$(PV)_{LRC} \approx -\frac{1}{3} N \int_{r_c}^{\infty} 2\pi r^2 dr \rho r \frac{d\phi(r)}{dr}$$

Lennard - Jones model 2nd kind.

$$U_{LRC}^* = \frac{8}{9}\pi N \rho^* r_c^{*-9} - \frac{8}{3}\pi N \rho^* r_c^{*-3}$$

$$P_{LRC}^* = \frac{32}{9}\pi \rho^{*2} r_c^{*-9} - \frac{16}{3}\pi \rho^{*2} r_c^{*-3}$$

$$\rho^* \equiv \frac{N}{V} \delta^3, \quad r_c^* \equiv \frac{r_c}{\delta}$$

$$U_{LRC}^* \equiv U_{LRC}/\epsilon \quad P_{LRC}^* \equiv P_{LRC} \delta^3/\epsilon$$